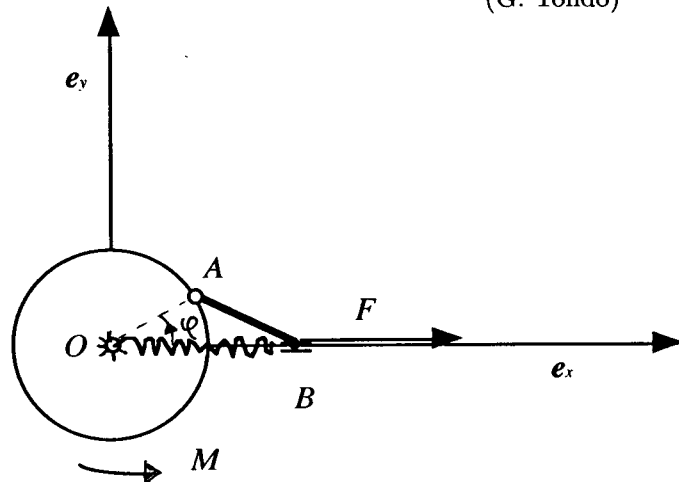


Compito di Meccanica Razionale

Trieste, 12 luglio 2010

(G. Tondo)



Si consideri il modello articolato di figura, posto nel piano orizzontale, costituito da un disco omogeneo di raggio R e massa $2m$ incernierato in O e da un'asta omogenea AB di lunghezza R e massa m , incernierata al disco in A e appoggiata in B a una guida fissa (vincoli lisci e bilateri). Sul disco agisce una coppia di momento $\mathbf{M} = M\mathbf{e}_z$, sull'asta una forza $\mathbf{F}_B = F\mathbf{e}_x$. Inoltre una molla, di costante elastica c , è fissata al punto B dell'asta e al centro della cerniera fissa in O .

STATICA.

- 1) Determinare il valore di M affinché il modello stia in equilibrio per $\varphi = \pi/6$.

Da ora in poi, assegnato a M il valore su determinato:

- 2) discutere la stabilità della configurazione d'equilibrio $\varphi = \pi/6$;
- 3) calcolare le reazioni vincolari esterne in O e in B all'equilibrio $\varphi = \pi/6$.

DINAMICA.

- 4) scrivere un'equazione differenziale pura di moto;
- 5) calcolare le reazioni vincolari dinamiche esterne in O e in B in funzione di φ , a partire dalle condizioni iniziali $\varphi = 0, \dot{\varphi} = 0$;
- 6) calcolare le reazioni vincolari dinamiche in A in funzione di φ , a partire dalle condizioni iniziali $\varphi = 0, \dot{\varphi} = 0$ (esame da 6 CFU);
- 6a) determinare l'equazione di Lagrange linearizzata intorno alla configurazione $\varphi = \pi/6$ e la frequenza delle piccole oscillazioni (esame da 9 CFU).

Tema del 12 luglio 2010

(1)

Il modello è un sistema articolato composto da 2 corpi rigidi: disco + arte.

Ha un solo g. l., come si verifica con il metodo dei congelamenti successivi.

Scelgiamo come coordinate libere l'angolo φ di figura, con $\varphi \in \mathbb{R}$.

Statica

1) Utilizziamo il PLV. Poiché i vincoli sono non olonomici e ~~gradi~~ molle configurazione di equilibrio è angolo $\varphi = \frac{\pi}{6}$ deve necessariamente risultare che

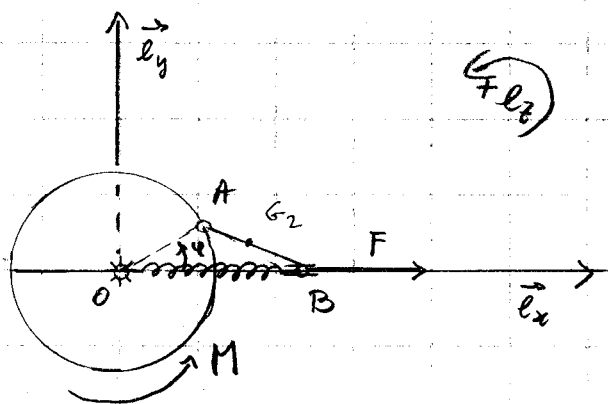
$$(1.1) \quad LV^{(att)}_{|\varphi = \pi/2} = 0$$

Calcoliamo il $LV^{(att)}$ in una generica configurazione φ .

$$(1.2) \quad LV^{(att)} = LV^{(att \rightarrow \text{disco})} + LV^{(att \rightarrow \text{arte})}$$

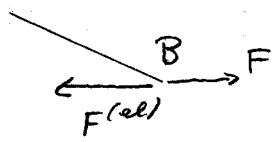
Poiché l'unica sollecitazione attiva che agisce sul disco è il momento M (la molla NON è fissa ad disco ma è tesa!) si ha

$$(1.3) \quad LV^{(att, \text{disco})} = M \cdot \vec{x} = M \vec{e}_x \cdot S \vec{e}_x = M \delta \varphi + \delta y$$



Sull'arco agiscono due forze ^{attive} concentrate in B

$$(2.1) \vec{F}_B = F \vec{e}_x$$



$$(2.2) \vec{F}_B^{(el)} = -c(B-O) = -2cR \cos \varphi \vec{e}_x, \quad S\vec{n}_B = -2R \sin \varphi \delta\varphi \vec{e}_x$$

Pertanto,

$$\begin{aligned} (2.3) \quad LV^{(\text{att} \rightarrow \text{att})} &= \left(\vec{F}_B + \vec{F}_B^{(el)} \right) \cdot \delta \vec{n}_B = \\ &= (F - 2cR \cos \varphi) \vec{e}_x \cdot (-2R \sin \varphi \delta\varphi \vec{e}_x) \\ &= -2R \sin \varphi (F - 2cR \cos \varphi) \delta\varphi \end{aligned}$$

Quindi,

$$(2.4) \quad LV^{(\text{att})} = \underbrace{(M - 2RF \sin \varphi + 2cR^2 \sin 2\varphi) \delta\varphi}_{\text{da cui segue che } \varphi_e}$$

$$(2.5) \quad LV_{|\varphi=\frac{\pi}{6}}^{(\text{att})} = M - RF + cR^2 \sqrt{3}$$

Pertanto, da (1.1) è subito fatto se e solo se

$$(2.6) \quad M = R(F - cR\sqrt{3})$$

N.B. Se $F > cR\sqrt{3}$ allora $M > 0$ (senso antiorario)
 se $F < cR\sqrt{3}$ allora $M < 0$ (senso orario).

2) Stabilità di $\varphi = \bar{\varphi}/6$ (3)

Il modello ha 1 g. l. (macchina semplice), vincoli non dissipativi, bilateri e fermi, sollecitazione posizionale. Quindi è conservativo, cioè si mantiene l'energia potenziale

$$(3.1) \quad V(\varphi) = - \int Q_\varphi d\varphi$$

$$\stackrel{(2.4)}{=} - \int (M - 2RF \sin \varphi + 2cR^2 \sin 2\varphi) d\varphi$$

$$= - M\varphi - 2RF \cos \varphi + cR^2 \cos 2\varphi$$

Valutiamo $V''(\varphi = \bar{\varphi}/6)$

$$(3.2) \quad V'(\varphi) = -M + 2RF \sin \varphi - 2cR^2 \sin 2\varphi \stackrel{(2.4)}{=} -Q_\varphi$$

$$(3.3) \quad V''(\varphi) = 2RF \cos \varphi - 4cR^2 \cos 2\varphi$$

Pertanto

$$(3.4) \quad V''\left(\varphi = \frac{\bar{\varphi}}{6}\right) = 2RF \frac{\sqrt{3}}{2} - kTR^2 \frac{1}{2} = R(F\sqrt{3} - 2cR)$$

Allora,

$$\text{x } \frac{F\sqrt{3}}{2cR} > 1, \quad \varphi = \frac{\bar{\varphi}}{6} \text{ è min per } V \Rightarrow \text{eq. stabile}$$

$$\text{x } \frac{F\sqrt{3}}{2cR} < 1, \quad \varphi = \frac{\bar{\varphi}}{6} \text{ è max per } V \Rightarrow \text{eq. instabile}$$

Se, invece, $\frac{F\sqrt{3}}{2CR} = \ell \Rightarrow V''(\varphi = \frac{\pi}{6}) = 0 \Rightarrow$ caso dubbia. (4)

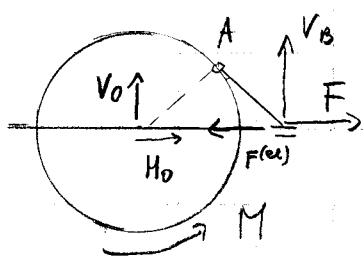
Allora, poiché

$$V''(\varphi) = -2RF \sin \varphi + 8CR^2 \sin^2 \varphi,$$

segue che

$$\begin{aligned} V''\left(\varphi = \frac{\pi}{6}\right) &= -RF + 4CR^2\sqrt{3} \\ &\quad \Big|_{\frac{F\sqrt{3}}{2CR} = 1} = -R \frac{2\ell}{\sqrt{3}} + 4cR^2\sqrt{3} \\ &= \frac{10}{\sqrt{3}} cR^2 \neq 0 \Rightarrow \text{flessibile} \Rightarrow \text{instabilità} \end{aligned}$$

3) Reazioni vincolari in O e B all'equilibrio $\varphi = \frac{\pi}{6}$ (5)



$$M = B(F - CR\sqrt{3})$$

Se il modello è in equilibrio per $\varphi = \frac{\pi}{6}$, devono essere soddisfatte le ECS

$$(5.1) \begin{cases} \vec{B}^{(art)} = \vec{0} \\ \vec{M}_0 = \vec{0} \end{cases}$$

$$(5.2) \begin{cases} H_0 + F - 2CR \cos \varphi_e = 0 \\ V_0 + V_B = 0 \\ B(F - CR\sqrt{3}) + V_B 2R \sin \varphi_e = 0 \end{cases}$$

La soluzione di (5.2) risolta in $\varphi = \frac{\pi}{6}$ è

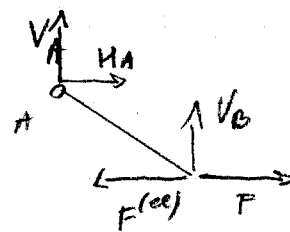
$$(5.6) \begin{cases} V_B = -\frac{R(F - CR\sqrt{3})}{2R \cos \frac{\pi}{6}} = -\frac{1}{\sqrt{3}}(F - CR\sqrt{3}) \\ V_0 = -V_B = \frac{1}{\sqrt{3}}(F - CR\sqrt{3}) \\ H_0 = CR\sqrt{3} - F \end{cases}$$

N.B. Il punto 1) può essere risolto utilizzando solo le ECS.
Infatti, se al sistema (5.1) con M incognito

$$(5.7) \begin{cases} H_0 + F - 2CR \cos \varphi_e = 0 \\ V_0 + V_B = 0 \\ M + V_B 2R \sin \varphi_e = 0 \end{cases}$$

aggiungiamo la II ECS applicata alle sole ore

$$(6.1) \quad \vec{M}_A \xrightarrow{\text{(est, } \rightarrow \text{ ore)}} = 0$$



otteniamo

incognite: (H_0, V_0, V_B, M)

$$(6.2) \quad \left\{ \begin{array}{l} M_0 = -F + 2cR \cos \varphi_e \\ V_0 = -V_B \\ V_B = -M / (2R \cos \varphi_e) \\ V_B R \sin \varphi_e + (F - 2cR \cos \varphi_e) R \sin \varphi_e = 0 \end{array} \right.$$

Osserviamo che, per ottenere un'equazione pura di equilibrio, poniamo sostituire la III delle (6.2) nella (IV), trovando

$$-\frac{M}{2R \sin \varphi_e} R \sin \varphi_e + (F - 2cR \cos \varphi_e) R \sin \varphi_e = 0$$

Quindi

$$(6.3) \quad \begin{aligned} M &= 2R \sin \varphi_e (F - 2cR \cos \varphi_e) \\ &= R (F - cR \sqrt{3}) \end{aligned}$$

come in (7.6). Le altre eq. (6.2) obbiano le reazioni vincolari in O e B (5.6).

Dinamica

L7

4) Scriviamo l'eq. di Legrange

$$(7.1) \quad \frac{d}{dt} \left(\frac{\partial K}{\partial \dot{\varphi}} \right) - \frac{\partial K}{\partial \varphi} = Q_\varphi \quad \begin{aligned} Q_\varphi &= B(F - CRB^2) + \\ &- 2BF \sin \varphi + 2CR^2 \sin^2 \varphi \end{aligned}$$

A tale scopo, calcoliamo l'energia cinetica del modello:

$$K = K^{(\text{disco})} + K^{(\text{orta})}$$

$$K^{(\text{disco})} = \frac{1}{2} \overline{J_{0z}} \dot{\varphi}^2 = \frac{1}{2} \left(\frac{1}{2} (2m) R^2 \right) \dot{\varphi}^2 = \frac{1}{2} m R^2 \dot{\varphi}^2$$

$$K^{(\text{orta})} = \frac{1}{2} m v_0^2 + \frac{1}{2} \overline{J_{Gz}} \dot{\varphi}^2, \quad \overline{J_G} = \frac{1}{12} m R^2,$$

Calcoliamo \vec{v}_0 , dove G è il c.m. dell'asta

$$(G=0) = \frac{B}{2} (3 \cos \varphi \hat{e}_x + \sin \varphi \hat{e}_y)$$

$$(7.2) \quad \vec{v}_0 = \frac{d}{dt}(G=0) = \frac{R}{2} (-3 \sin \varphi \dot{\varphi} \hat{e}_x + \cos \varphi \dot{\varphi} \hat{e}_y)$$

$$\begin{aligned} v_0^2 &= \frac{R^2}{4} \left[(3 \sin \varphi \dot{\varphi})^2 + (\cos \varphi \dot{\varphi})^2 \right] = \\ &= \frac{R^2}{4} (9 \sin^2 \varphi + \cos^2 \varphi) \dot{\varphi}^2 = \frac{R^2}{4} (8 \sin^2 \varphi + 1) \dot{\varphi}^2 \end{aligned}$$

Allora,

$$K^{(\text{orta})} = \frac{1}{2} m R^2 \left(2 \sin^2 \varphi + \frac{1}{4} \right) \dot{\varphi}^2 + \frac{1}{2} \frac{1}{12} m R^2 \dot{\varphi}^2 = \frac{1}{2} m R^2 \left(2 \sin^2 \varphi + \frac{1}{3} \right) \dot{\varphi}^2$$

Pertanto,

$$(8.1) \quad K = \frac{1}{2} m R^2 \left(2 \sin^2 \varphi + \frac{4}{3} \right) \dot{\varphi}^2$$

(8)

Quindi,

$$\frac{\partial K}{\partial \dot{\varphi}} = m R^2 \left(2 \sin^2 \varphi + \frac{4}{3} \right) \dot{\varphi}, \quad \frac{\partial K}{\partial \varphi}$$

$$\frac{d}{dt} \left(\frac{\partial K}{\partial \dot{\varphi}} \right) = m R^2 \left(4 \sin \varphi \cos \varphi \dot{\varphi}^2 + \left(2 \sin^2 \varphi + \frac{4}{3} \right) \ddot{\varphi} \right)$$

Allora, l'eq. di Lagrange simulte

$$m R^2 \left(2 \sin^2 \varphi + \frac{4}{3} \right) \ddot{\varphi} + 2 m R^2 \underbrace{\sin 2\varphi \dot{\varphi}^2}_{m R^2 \sin^2 \varphi \dot{\varphi}^2} - \underbrace{m R^2 \sin^2 \varphi \dot{\varphi}^2}_{m R^2 \sin^2 \varphi \dot{\varphi}^2} = Q_\varphi,$$

cioè

$$(8.2) \quad 2 m R^2 \left(\sin^2 \varphi + \frac{2}{3} \right) \ddot{\varphi} + m R^2 \sin 2\varphi \dot{\varphi}^2 = R(F - c R \sqrt{3}) - 2 R F \sin \varphi + 2 c R^2 \sin 2\varphi$$

5) Reazioni dinamiche in O e in B in funzione di φ (3)

Scriviamo le ECD per tutto il modello.

$$(9.1) \begin{cases} \vec{R}^{\text{ext}} = 2m \vec{x}_0 + m \vec{x}_G \\ \vec{M}_0^{\text{ext}} = \frac{d\vec{L}_0}{dt} \end{cases}$$

Dalla (7.2) ricaviamo

$$(9.2) \vec{x}_G = \frac{R}{2} [-3(\cos \varphi \dot{\varphi}^2 + \sin \varphi \ddot{\varphi}) \vec{e}_x + (-\sin \varphi \dot{\varphi}^2 + \cos \varphi \ddot{\varphi}) \vec{e}_y]$$

Calcoliamo \vec{L}_0 .

$$\vec{L}_0 = \vec{L}_0^{(\text{eliso})} + \vec{L}_0^{(\text{arte})}$$

$$\vec{L}_0^{(\text{eliso})} = I_0 (\vec{\omega}^{(\text{eliso})}) = J_{0z} \dot{\varphi} \vec{e}_z = m R^2 \dot{\varphi} \vec{e}_z$$

$$\vec{L}_0^{(\text{arte})} = \vec{L}_G^{(\text{arte})} + (\vec{x}_G - \vec{x}_0) \times m \vec{V}_G =$$

$$= I_G (\vec{\omega}^{(\text{arte})}) + m \begin{vmatrix} \vec{e}_x & \vec{e}_y & \vec{e}_z \\ \frac{3}{2} R \cos \varphi & \frac{R \sin \varphi}{2} & 0 \\ -\frac{3}{2} R \sin \varphi & \frac{R \cos \varphi}{2} & 0 \end{vmatrix} =$$

$$= -J_{3G} \dot{\varphi} \vec{e}_z + m \vec{e}_z \left(\frac{3}{4} R^2 \cos^2 \varphi \dot{\varphi}^2 + \frac{3}{4} R^2 \sin^2 \varphi \dot{\varphi}^2 \right) =$$

$$= -\frac{1}{12} m R^2 \dot{\varphi}^2 \vec{e}_z + \frac{3}{4} m R^2 \dot{\varphi} \vec{e}_z =$$

$$= \frac{2}{3} m R^2 \dot{\varphi} \vec{e}_z$$

Pertanto,

(10)

$$(10.1) \quad \vec{L}_o = mR^2 \dot{\varphi} \vec{e}_z + \frac{2}{3} mR^2 \dot{\varphi} \vec{e}_z = \frac{5}{3} mR^2 \ddot{\varphi} \vec{e}_z$$

Allora, da (9.1) si risolve

$$(10.2) \quad \begin{cases} H'_o + F - 2cR \cos \varphi = -\frac{3}{2}mR(\cos \varphi \dot{\varphi}^2 + \sin \varphi \ddot{\varphi}) \\ V'_o + V'_B = m\frac{R}{2}(-\sin \varphi \dot{\varphi}^2 + \cos \varphi \ddot{\varphi}) \\ R(F - cR\sqrt{3}) + V'_B 2R \cos \varphi = \frac{5}{3}mR^2 \ddot{\varphi} \end{cases}$$

che risolte rimpicciolite le incognite (H'_o, V'_o, V'_B) forniscono

$$(10.3) \quad \begin{cases} H'_o = -F + 2cR \cos \varphi - \frac{3}{2}mR(\cos \varphi \dot{\varphi}^2 + \sin \varphi \ddot{\varphi}) \\ V'_o = -\frac{\frac{5}{3}mR \ddot{\varphi} - (F - cR\sqrt{3})}{2 \cos \varphi} + \frac{mR(-\sin \varphi \dot{\varphi}^2 + \cos \varphi \ddot{\varphi})}{2} \\ V'_B = \frac{\frac{5}{3}mR^2 \ddot{\varphi} - R(F - cR\sqrt{3})}{2 \cos \varphi} \end{cases}$$

Per rispondere alla domanda 5) dobbiamo sostituire, nell'equazione delle (10.3), $\dot{\varphi}^2$ e $\ddot{\varphi}$ in termini delle coordinate libere φ . A tale scopo, utilizziamo l'integrale primo dell'energie meccanica, che si conserva poiché il modello è una macchina semplice conservativa con vincoli non slittanti, bilaterali e fermi.

Quindi,

$$(11.1) \quad E = K + V = E_{t=0}$$

cioè

$$mR^2 \left(\sin^2 \varphi + \frac{2}{3} \right) \dot{\varphi}^2 - R(F - CR\sqrt{3})\varphi - 2RF \cos \varphi + CR^2 \cos^2 \varphi = E_{t=0}$$

Pertanto, con le condizioni iniziali $\varphi(0)=0$, $\dot{\varphi}(0)=0$ si ha che durante il moto

$$(11.2) \quad mR^2 \left(\sin^2 \varphi + \frac{2}{3} \right) \dot{\varphi}^2 - R(F - CR\sqrt{3})\varphi - 2RF \cos \varphi + CR^2 \cos^2 \varphi = CR^2 - 2RF$$

Allora, durante il moto

$$(11.3) \quad \dot{\varphi}^2 = \underline{R(F - CR\sqrt{3})\varphi + 2RF \cos \varphi - CR^2 \cos^2 \varphi + CR^2 - 2RF} = \\ mR^2 \left(\sin^2 \varphi + \frac{2}{3} \right) \\ = g(\varphi)$$

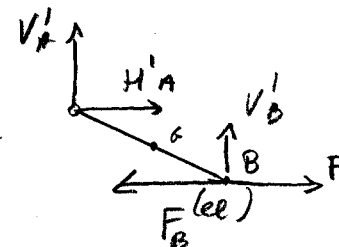
Inoltre, dall' eq. di Lagrange (8.2) si trova

$$(11.4) \quad \ddot{\varphi} = \underline{-mR^2 \sin 2\varphi \dot{\varphi}^2 + R(F - CR\sqrt{3}) - 2RF \sin \varphi + 2CR^2 \sin^2 \varphi} \\ 2mR^2 \left(\sin^2 \varphi + \frac{2}{3} \right) \\ = \underline{-mR \sin 2\varphi g(\varphi) + (F - CR\sqrt{3}) - 2F \sin \varphi + 2CR \sin^2 \varphi} \\ 2mR \left(\sin^2 \varphi + \frac{2}{3} \right)$$

Sortituendo le (11.3) e (11.4) in (10.3) si ottiene la risposta alle domande 5) (12)

6) Reazione dinamiche in A in funzione di $\dot{\varphi}$

Applichiamo la IED alle sole articolazioni:



$$(12.1) \quad \vec{B} = m \overset{\rightarrow}{\omega}_G, \quad \ddot{\overset{\circ}{\omega}}_G = (3.2)$$

che proiettata lungo gli assi fornisce

$$(12.2) \quad \begin{aligned} \text{ex: } & \left\{ \begin{array}{l} H_A' + F - 2cR \cos \varphi = -\frac{3mR}{2} (\cos \varphi \dot{\varphi}^2 + \sin \varphi \ddot{\varphi}) \\ V_A' + V_B' = \frac{mR}{2} (-\sin \varphi \dot{\varphi}^2 + \cos \varphi \ddot{\varphi}) \end{array} \right. \\ \text{eq: } & \end{aligned}$$

Risolvendo la prima eq. o H_A' e la seconda eq. V_A' , dopo avervi sostituito la V_B' calcolata in (10.3), ritroviamo

$$(12.3) \quad \left\{ \begin{array}{l} H_A' = -F + 2cR \cos \varphi - \frac{3mR}{2} (\cos \varphi \dot{\varphi}^2 + \sin \varphi \ddot{\varphi}) \\ V_A' = -\frac{5}{3} mR \dot{\varphi}^2 + (F - cR\sqrt{3}) + \frac{mR}{2} (-\sin \varphi \dot{\varphi}^2 + \cos \varphi \ddot{\varphi}) \end{array} \right.$$

Sortituendo a $\dot{\varphi}^2$ lo (11.3) e a $\ddot{\varphi}$ lo (11.4), si ottiene la risposta.

6a) Eq. di Lagrange linearizzata intorno alla
configurazione $\varphi = \frac{\pi}{6}$ e frequenza delle piccole
oscillazioni. (13)

Introdotta la variabile scarto $x = \varphi - \frac{\pi}{6}$, l'eq.
di Lagrange linearizzata nel caso conservativo è
data da

$$(13.1) \quad \alpha(q_e) \ddot{x} + V''(q_e) x = 0,$$

dove $\alpha(q)$ è la funzione t.c.

$$(13.2) \quad K = \frac{1}{2} \alpha(q) \dot{q}^2$$

e $V''(q)$ è la derivata seconda dell'energia potenziale.

Nel nostro caso,

$$\begin{aligned} (13.3) \quad \alpha(q_e) &= 2m R^2 \left(\sin^2 \frac{\pi}{6} + \frac{2}{3} \right) = 2m R^2 \left(\frac{1}{4} + \frac{2}{3} \right) \\ &= \frac{11}{6} m R^2, \end{aligned}$$

mentre $V''(q_e)$ è stata data da (3.4).

Pertanto, l'eq. di Lagrange linearizzata intorno a $\varphi = \frac{\pi}{6}$ è

$$(13.4) \quad \frac{11}{6} m R \ddot{x} + (F\sqrt{3} - 2cR)x = 0$$

e la frequenza delle piccole oscillazioni è

$$(13.5) \quad \nu = \sqrt{\frac{6k(F\sqrt{3} - 2cR)}{11 m R^2}} \quad \text{se } F\sqrt{3} > 2cR \Rightarrow \text{moti oscillatori}$$